



中华医学会核医学分会
技术与继续教育学组

中华医学会核医学分会第十一届委员会 技术与继续教育学组 系列专家讲座

质控病例

专家姓名 康 飞
专家单位 西京医院

病例摘要

- 患者，女，57岁
- 胃腺癌术后常规复查
- 既往无骨代谢疾病。

全身骨扫描显像



中华医学会核医学分会
技术与继续教育学组



左腋窝放射性浓聚：

定位： 肋骨？

肩胛骨？

其他可能？

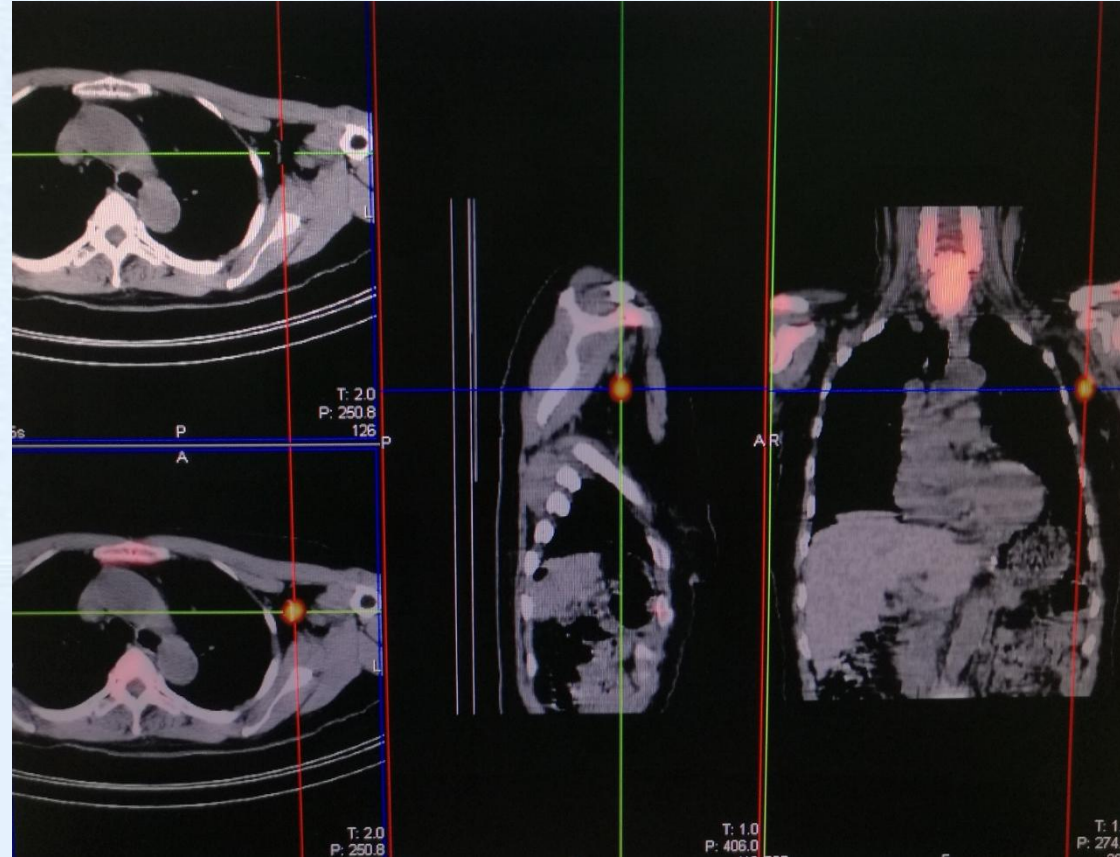
定性： 转移？

其他可能？

SPECT/CT扫描



中华医学会核医学分会
技术与继续教育学组



SPECT/CT:

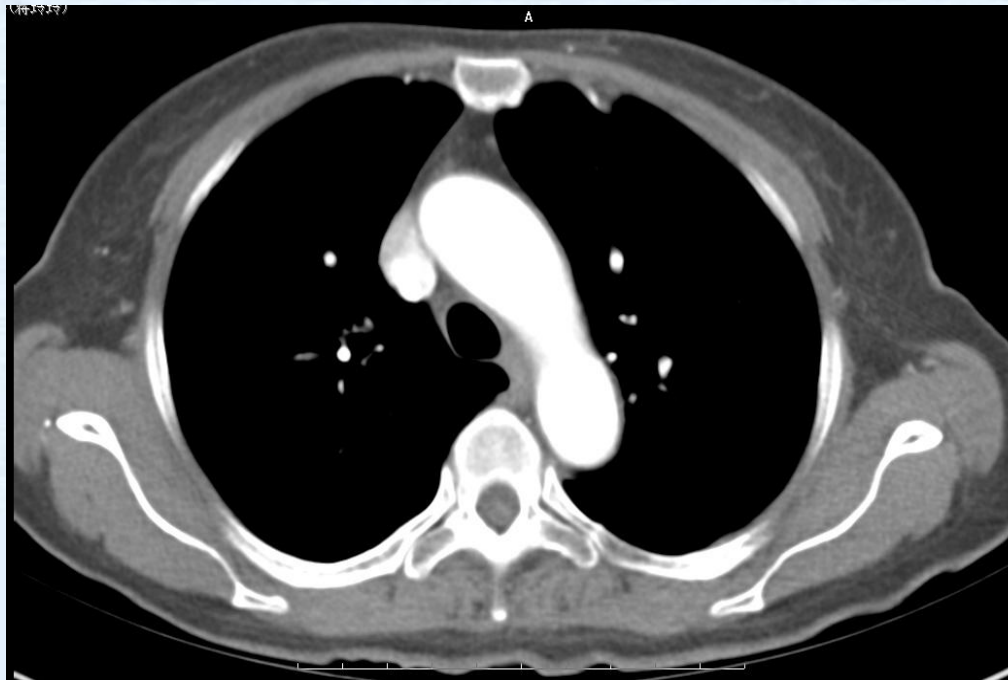
左腋窝淋巴结引流

诊断印象:

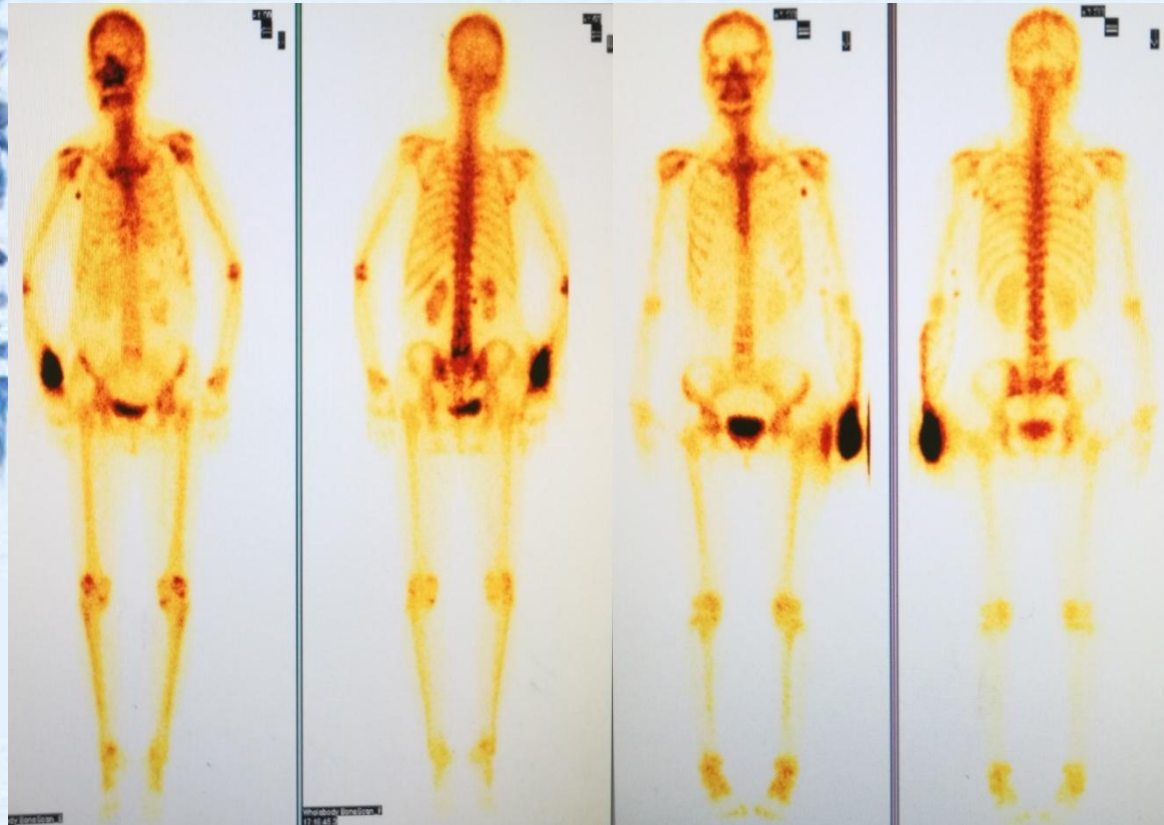
**显像剂注射渗漏造成的
淋巴结假阳性显影**

**paravenous injection
PVI 静脉旁注射**

2018年5月CT复查



Paravenous injection PVI 静脉旁注射



- 是否常见?
- 比例多高?
- 临床影响?
- 有效规避?

Pubmed检索

Injection error

Injection Infiltration

+

PET / FDG / MDP

Injection

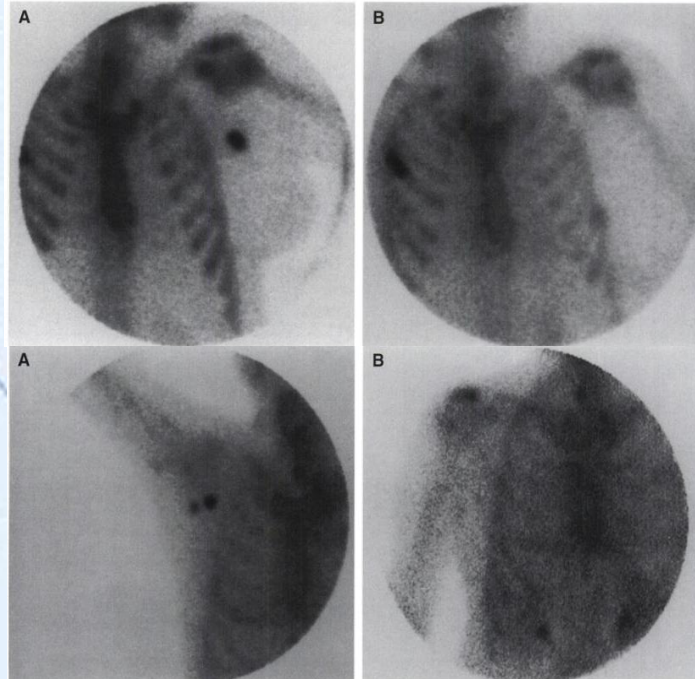
Extravasation

Paravenous injection PVI 静脉旁注射

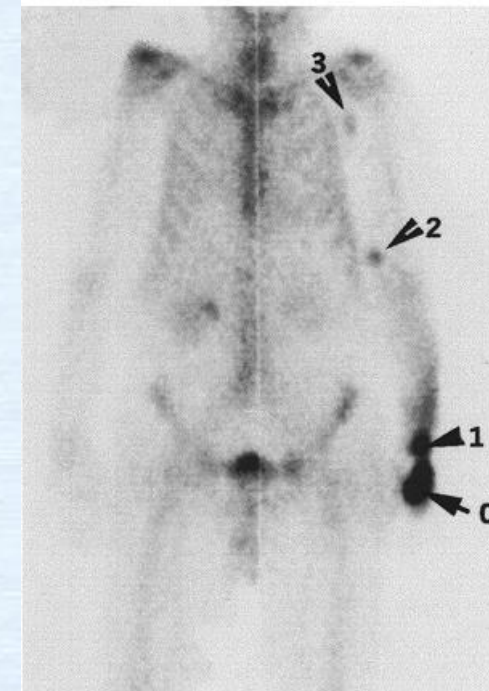


中华医学会核医学分会
技术与继续教育学组

骨扫描PVI致淋巴结显影的病例报道



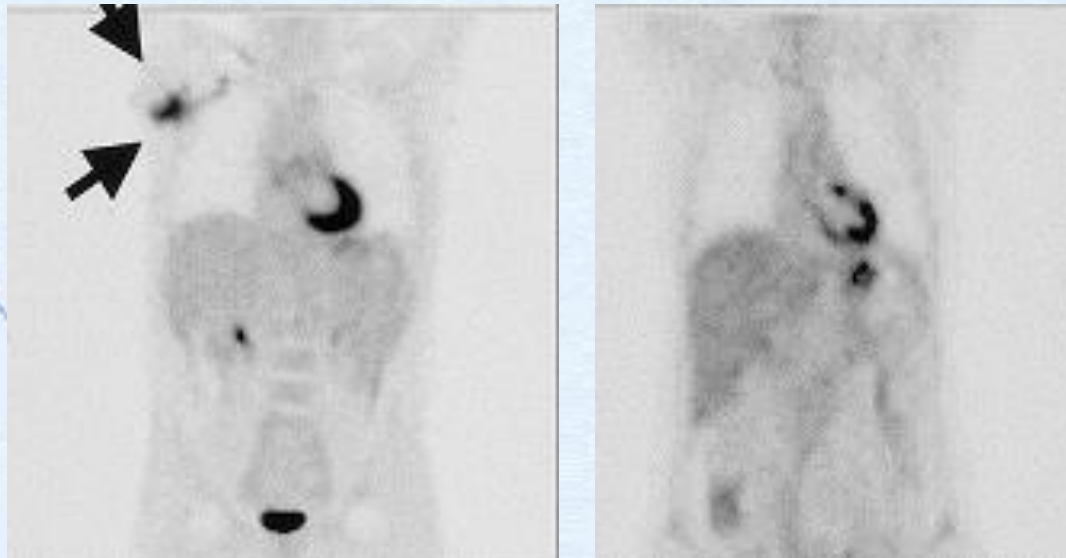
J Nucl Med
1995; 36:1797-1799



J Nucl Med Technol
2001; 29:154-155

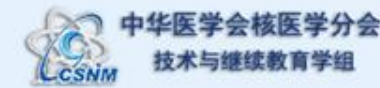
Paravenous injection PVI 静脉旁注射

^{18}F -FDG PET/CT中PVI致淋巴结显影的病例报道



Clin Nucl Med
2003;28: 786–788

Paravenous injection PVI 静脉旁注射



PVI比例有多高？

单位	出处	PVI比例
Saint Louis University, USA	Front Oncol. 2011 Nov 16;1:41.	10.5%
Complejo Hospitalario, Spain	Med Phys. 2014; 41(5):052502	18%
Vanderbilt University Medical Center, USA	Eur J Nucl Med Mol Imaging. 2016; 43(13): 2374–2380.	30%
Saint Louis University, USA	J Nucl Med Technol 2017; 45:267– 271.	38-55%
François Baclesse Cancer Centre, France (动物研究)	EJNMMI Research 2015; 5:61	50%

临床影响

1. 定量不准

$$SUV = \frac{\text{病灶单位体积活度}}{\text{注射活度} \times \text{体重}}$$

低估SUV

肝脏SUV低估11.7% 纵膈SUV低估9.3%

Front Oncol. 2011; 16;1:41.

动物试验中SUVmean有显著差别，但不影响药物疗效的评价。

EJNMMI Research 2015; 5:61

虽不影响FDG的药物平台期，但肿瘤SUV与渗漏剂量呈反比

Ann Nucl Med (2016) 30:525–533

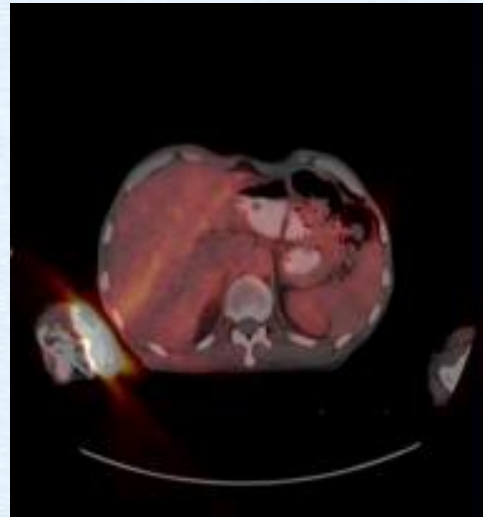
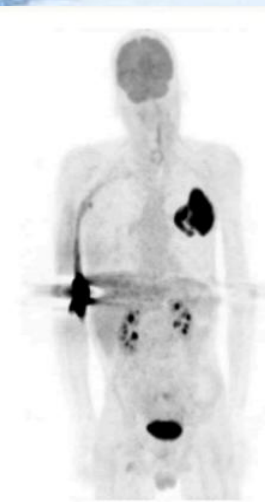
Paravenous injection PVI 静脉旁注射

临床影响

2. 假阴性

PVI存在

右侧肾上腺转移灶阳性显影



PVI消除

右侧肾上腺转移灶阴性显影

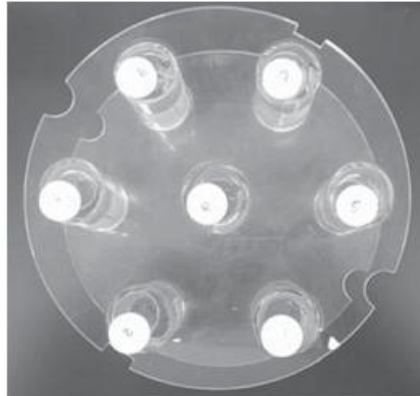


预防PVI发生的措施

- 1、增强责任心
- 2、提高穿刺技术、建立静脉通道
- 3、加强质量控制

修正PVI对SUV影响的措施

1. 数学模拟修正



For leakages of ≥ 28 mm

Leakage radioactivity (MBq) = positron emission tomography (PET) radioactivity (MBq) $\times 0.9$.

For leakages of ≥ 15 mm but < 28 mm

Leakage radioactivity (MBq) = PET radioactivity (MBq) $\times 0.9 \times (0.0517 \times \text{leakage size (mm)} - 0.4029)$.

Ann Nucl Med (2007) 21:607–613

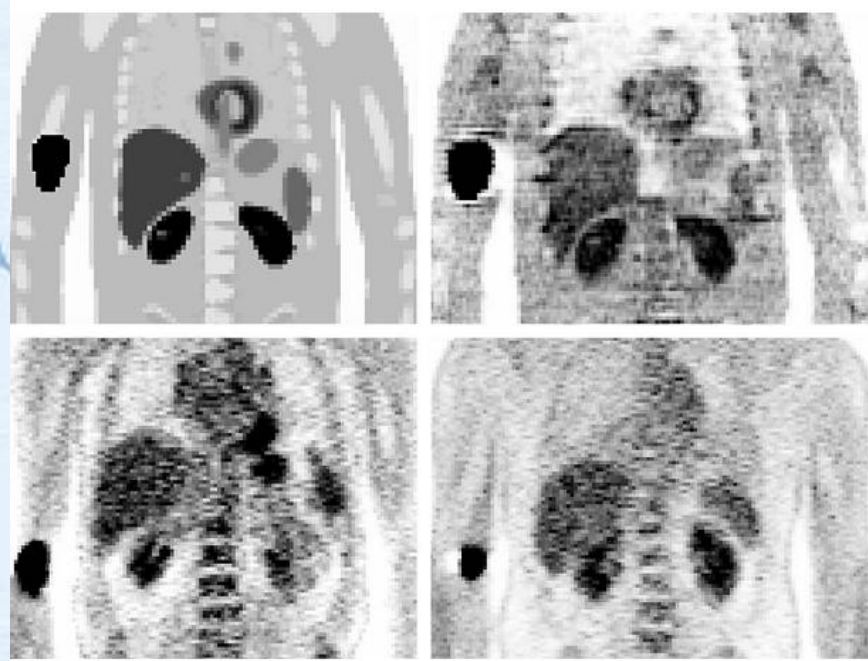
Paravenous injection PVI 静脉旁注射



中华医学会核医学分会
技术与继续教育学组

修正PVI对SUV影响的措施

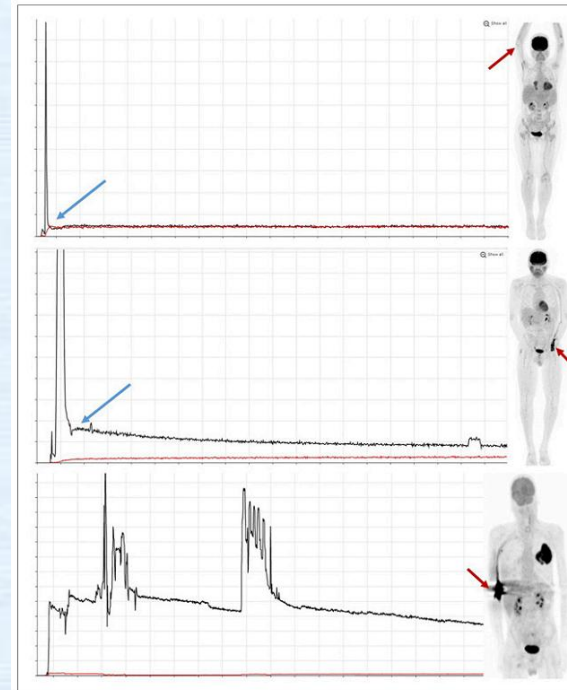
2. 蒙特卡洛算法修正



Med Phys. 2014; 41(5):052502

修正PVI对SUV影响的措施

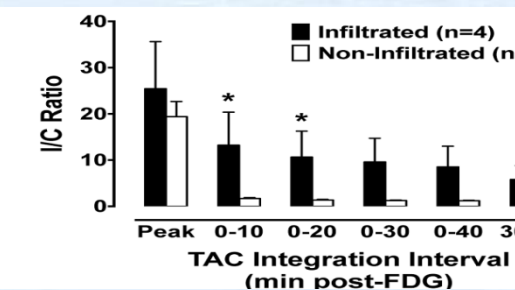
3.设备校正



修正PVI对SUV影响的措施

Eur J Nucl Med Mol Imaging. 2016 December ; 43(13): 2374–2380. doi:10.1007/s00259-016-3477-3.

Towards real-time topical detection and characterization of FDG dose infiltration prior to PET imaging



Receiver operating characteristic analyses of sensor diagnostic performance. Ability of integration metrics from the sensor TACs to predict whether an infiltration will be visible on ensuing PET: infiltration visible ($n = 4$); infiltration not visible ($n = 6$).

TAC interval	Sensor arm	ROC area	Sensitivity	Specificity	Cut-off value	PPV	NPV
Peak only	Injection	0.71	50%	100%	1.76×10^5	100%	75.0%
Peak only	I/C ratio	0.58	50%	100%	29.20	100%	75.0%
0-10 min	Injection	0.92	75%	100%	3.34×10^5	100%	85.7%
0-10 min	I/C ratio	0.92	75%	100%	2.62	100%	85.7%
0-20 min	Injection	0.92	75%	100%	5.40×10^5	100%	85.7%
0-20 min	I/C ratio	0.92	75%	100%	1.87	100%	85.7%
0-30 min	Injection	0.88	75%	100%	7.48×10^5	100%	85.7%
0-30 min	I/C ratio	0.88	75%	100%	1.61	100%	85.7%
0-40 min	Injection	0.83	75%	100%	9.45×10^5	100%	85.7%
0-40 min	I/C ratio	0.83	75%	100%	1.47	100%	85.7%
30-40 min	Injection	0.79	75%	100%	1.97×10^5	100%	85.7%
30-40 min	I/C ratio	0.88	75%	100%	1.31	100%	85.7%

TAC, time activity curve; ROC, receiver operating characteristic; I/C, injection arm/control arm; PPV, positive predictive value; NPV, negative predictive value.

Paravenous injection PVI 静脉旁注射

- 正视PVI: PVI是各单位操作中发生率较高的现象
- 重视PVI: 对病灶探测和SUV定量有影响
- 减少PVI: 通过质量控制尽量降低PVI发生率

通过技术创新减少PVI对定量和诊断的影响

中华医学会核医学分会第十一届委员会 技术与继续教育学组成员名单

组 长	姚稚明、缪蔚冰
副组长	王茜、范岩、刘纯
传媒管理	林端瑜、余飞
秘 书	李旭、郑山
委 员	陈亮、杨治平、肖茜、李梦春、郑堃、李从心、王闯、程兵、黄斌豪、邓群力、袁梦晖、边艳珠、李忠原、黄占文、张卫方、李凤岐、褚玉、潘建英、程祝忠、梅丽努尔·阿布都热西提、肖欢、耿建华、武兆忠、杨吉琴、农天雷、徐微娜、苏莉、江勇、董萍、黄谋清、马宏星、向阳